

05.3; 07

© 1992

СТРУКТУРНЫЙ ФАЗОВЫЙ ПЕРЕХОД В  $AgBr$ 

В.А. В о л л, А.Л. К а р т у ж а н с к и й,  
А.В. С т р у ц

Среди моногалогенидов серебра ( $AgHal$ ) полиморфным является  $AgJ$ , что может быть следствием относительно большого радиуса  $J^-$  (0.22 нм) и поляризуемости внешней электронной оболочки  $J^0$  [1]. В фотоматериалах используется легированный  $AgBr$ , т.к. в нем фотолитические центры  $Ag_n$  более стабильны, а энергия образования наименьшая [1]. Однако  $AgJ$  наиболее удобен для исследования фотоиндуцированной кристаллизации (ФИК) и построения модели образования и роста  $Ag_n$ , т.к. может моделировать и центры чувствительности с ОЦК-структурой кристаллической решетки [2]. Из анализа различных форм ФИК в  $\beta-AgJ$  следует первичность индуцирования  $\delta$ -фазы, причем энергия фазового перехода (ФП) уменьшается фото-, термо- или электростимулированием, а также легирующими примесями и снижением вклада поверхностной энергии. Модельные исследования ФИК в номинально чистых и легированных  $AgBr$  и  $AgCl$  показали, что разные формы  $Ag_n$  кристаллизуются из ГЦК-структуры нитевидного  $AgJ$  или поверхностных эпитаксов состава  $Ag_3SBr$  с ОЦК-структурой [3, 4].

Постоянная решетки  $AgBr$  (0.577 нм) на 10 % больше постоянной  $\alpha-AgJ$  (0.507 нм) и при вакансационном (термически или легированием инициируемом) "распухании" в  $AgBr$  энергетически выгодна ПЦК или ОЦК-структура. Ионный радиус  $Br^-$  на 10 % меньше ионного радиуса  $J^-$ , т.е. изменение структуры  $AgBr$  с частично искаженной решеткой типа  $NaCl$  может произойти без существенных энергетических затрат.

Фотогенерирование  $Ag_n$  в  $AgHal$  происходит в областях концентрирования биографических или легирующих примесей с повышенной концентрацией френкелевых дефектов [1-6], где искажена периодичность внутрикристаллического потенциала и структуры решетки. Ячейка типа  $NaCl$ , содержащая межузельный  $Ag^+$ , может рассматриваться как промежуточная к ОЦК-структуре. Первичные искажения структуры в  $AgHal$  спектрально проявляются как наведенные полосы, связываемые с центрами  $V_{Ag}Hal^0$  и уж затем генерируются полосы галоидосеребряных молекулярных центров [7]. Первичность вакансационного центра может быть связана с генерацией  $Ag^{++}$ , однако точечного фотоиндуцированного френкелевского дефекта недостаточно для образования молекулы серебра за единицы наносекунд (время жизни  $Ag^{++}$  при 290 К) и этот процесс более

вероятен в поле межузельного  $Ag^{++}$ . В то же время, генерация  $Ag^{++}$  в  $\beta$ - $Ag$  не приводит к образованию  $d-d$  связи, как необходимой предпосылки устойчивости  $2Ag^+$ , т.к. в гексагональной ячейке расстояние до ближайшего  $J^-$  меньше, чем до межузельного  $Ag^+$  и ионизация  $J^-$  до  $J^0$  первична, что, при захвате фотоэлектрона, приводит к образованию короткоживущего центра  $2Ag^+J^0$  [8]. Напротив, в ПЦК- или ОЦК-ячейке межионные расстояния отвечают первичности образования ковалентного типа  $d-d$  связи обобществлением  $d$ -электрона  $Ag^+$  на свободный  $d$ -уровень  $Ag^{++}$  с последующим образованием устойчивого центра  $Ag^+J^0$  при захвате электрона центром  $Ag_2^{++}$  до ближайшего  $J^-$ .

В структуре решетки типа  $NaCl$  с точечной ячейкой, содержащей межузельный  $Ag^+$ , молекула  $Ag_2$  или  $Ag_3$  будет термализована, если нет упреждающего или последовательного генерирования френкелевских дефектов в области  $Ag_n$ , как собственного структурного дефекта.

ФИК  $Ag_n$  из разупорядоченной ПЦК-структуре  $AgJ$  показана для макро- и микрокристаллов [2]. Аналогичные эффекты продемонстрированы и в номинально чистых макро- и микрокристаллах  $AgBr$  [4, 9], что допускает и аналогию изменения структур. Элементарной ячейкой  $Ag_n$  является  $Ag_6$  с ПЦК-структурой, которая может формироваться из  $Ag^+$ , расположенных в тетраэдрических позициях в ОЦК- или искаженной ПЦК-структуре  $AgHal$  без существенных энергозатрат [10]. Тем самым, если доменообразование считать предпосылкой структурного ФП, то существование такого в легированных  $AgCl$  и  $AgBr$  следует уже из [6]. Аналогично, если нитевидная кристаллизация основного состава также предполагает ПЦК-структуру исходной матрицы [10], то фаза  $AgBr$  с ГЦК-структурой должна существовать в легированных кристаллах  $AgBr$  и в стеклах, содержащих  $AgBr$  как фотоиндуцированную фазу [11].

Концентрация растворенного в  $AgBr$   $Ag$   $10^{-11}-10^{-12}$  моль/см<sup>3</sup> в монокристаллах и может существенно повышаться в микрокристаллах [1]. Действительно, термообработка голограммических микрокристаллов (МК)  $AgBr$ , согласно спектральным и электронномикроскопическим данным, приводит к выделению частиц  $Ag$  на поверхности МК [9]. Концентрация  $Ag$  в этих частицах (при пересчете размеров МК и частиц  $Ag_n$  на соответствующие решеточные постоянные) достигают 10 % от числа ячеек в МК  $AgBr$ , что соответствует одному межузельному атому или молекуле  $Ag_2$  на 27 ячеек и должно вносить искажение во всю структуру МК. Сверхстехиометрия по  $Ag$  следует из кристаллизации в растворе электролита, когда на затравке ослаблено кулоновское и преобладает  $Ag-Ag$  взаимодействие. По мере роста МК и уменьшения относительного вклада поверхностной энергии увеличивается диффузия растворенного  $Ag$  к поверхности и может изменяться структура МК. Повышение концентрации  $Ag$  и увеличение симметрии решетки должны приводить к росту ионной подвижности, что наблю-

далось для МК  $AgBr$ , выращенных в пористом стекле, т.е. в том случае, когда вклад поверхностной энергии на единицу объема соизмерим с таковым в больших кристаллах, а относительная концентрация  $Ag$  соизмерима с таковой в МК. Большая ионная подвижность для МК  $AgBr$  в пористом стекле выражается в виде большой длительности тока заряда-разряда до уровня, характерного в суперионных МК, при измерении конденсаторной фотоЭДС [9] и их относительно большой фоточувствительности в условиях низких температур (80 К), в частности к наносекундным световым импульсам, что также характерно для суперионных МК [8, 12]. Здесь можно отметить, что хорошо известна более высокая чувствительность МК  $AgBr$  октаэдрической формы, т.е. формы кристаллизации  $\alpha-AgJ$  с наибольшим содержанием  $Ag$  [13].

Следуя аналогии с  $Ag$ , фотоиндуцированный ФП в  $AgBr$  более вероятен при нс-облучении, т.к. непрерывное облучение при мощности более 0.1 Вт/см<sup>2</sup> приводит к необратимому фотолизу [8].

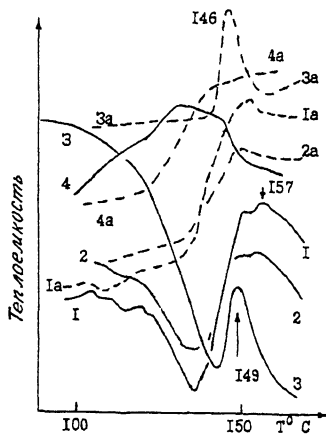
Рассматривая поглощение в  $AuHal$  как суперпозицию пропорционального поглощения собственных и фотогенерированных центров можно допустить, что изменение интенсивности и наклона кривой будет отвечать изменению концентрации различных центров ( $V_{Ag^-}$ ,  $Ag^+$ ,  $Ag^{++}$  - 0.44–0.46, 0.31–0.32 и 0.9–1.2 мкм, соответственно и др.) и тогда также может рассматриваться как одно из подтверждений структурных изменений. Так термоиндуцированный ФП в МК  $AgJ$  и  $Ag_2HgJ_4$  спектрально проявляется как модификация характерного экситонного поглощения в экспоненту урбаховского типа [14], первоначально установленную для  $AgBr$ .

Оптимальными размерами МК  $AgBr$ , при которых уже можно пренебречь вкладом поверхностной энергии в энергетику ФП, но для которых еще относительно высока концентрация  $Ag$ , можно считать 0.1–0.15 мкм. Для калориметрического определения ФП (как не вносящего методологических искажений) более удобны обычные МК  $AgBr$  со средним размером 0.25–0.3 мкм, которые, по технологическим параметрам, содержат относительно высокую концентрацию биографических и легирующих примесей.

Микрокалориметрические измерения проводили на стандартных образцах с относительным влагосодержанием 5–6% и 12% для сравнительного исключения зависимости результатов от указанного фактора. Область измерений 100–200 °C, где наиболее вероятно ожидать ФП.

На рисунке представлены кривые изменения теплоемкости для образцов с МК  $AgBr$  (кривая 1 – влажность 12%, кривая 2 – 5–6%, кривые 1а и 2а – повторные записи для соответствующих образцов) и образца с МК  $\beta-AgJ$  со средним размером 0.07–0.08 мкм в аналогичной матрице (кривые 3 и 3а), а также образца без МК при относительной влажности около 5% (кривые 4 и 4а).

Для всех образцов с МК при первой записи спектра наблюдается экзотермический эффект в области 120–140 °C, отсутствующий при повторной записи. В образце без МК в той же области наблю-



дается эндотермическая полоса, отвечающая плавлению желатина, а при повторном нагревании – эндотермический эффект, отвечающий стеклованию [15]. В голограмических образцах при 150 °С и 2–3 % влажности наблюдалось повышение адгезии желатинового слоя к стеклянной подложке [9], что также указывало на зависимость температуры плавления желатина от относительного влагосодержания, а также указывало на выделение энергии при взаимодействии термически активированного желатина с твердой поверхностью. МК *AgHal* находятся в полостях желатиновой матрицы, где концентрация влаги может быть выше и тогда эндотермическая полоса плавления желатина соответствует этому процессу в объеме полостей, а экзотермический эффект соответствует плавлению желатина вокруг МК и взаимодействию с их поверхностью.

Относительно большая полуширина эндотермической полосы в области 150–160 °С для образцов с МК *AgBr* может указывать на различную степень дефектности МК и тогда смещение максимума полосы при повторном нагреве можно отнести за счет увеличения дефектности МК в приповерхностной области. Здесь затруднительно говорить об уменьшении полуширины полос (аналогично полосе для МК *AgJ*), т.к. накладывается эндотермический эффект стеклования. В частности, из представленных кривых видно, что для МК *AgBr* меньшего или большего размеров будет происходить наложение различных калориметрических эффектов, т.е. выбранный размер оптимальен. Использование ультрадисперсного порошка малопродуктивно из-за контактного взаимодействия частиц и размывания эндотермического эффекта.

Сумма представленных данных позволяет отнести *AgBr* к полиморфным соединениям и объясняет его фотографическую эффективность.

# Список литературы

- [1] Джеймс Т. Теория фотографического процесса. 1980. М.: Химия, 672 с.
- [2] Бармасов А.В. и др. // Деп. ВИНИТИ № 7899-В88, 7898-В88. .26 с.
- [3] Каргужанский А.Л. и др. // Письма в ЖТФ. 1990. Т. 16. В. 24. С. 14.
- [4] Каргужанский А.Л. и др. // ЖНиПФиК. 1990. Т. 36. № 1. С. 11.
- [5] Кавецкий А.Г. и др. // ФТТ. 1983. Т. 25. В.12. С. 3698.
- [6] Каргужанский А.Л. и др. // ФТТ. 1990. Т. 32. № 7. С. 2115.
- [7] Кехва Т.Э. и др. Тез. докл. Всес. сов. по радиационным гетерогенным процессам, КемГУ, 1990. Т. 2. С. 47-61.
- [8] Резников В.А., Струц А.В. // Опт. и спектр. 1992. Т. 73. В. 1. С. 16.
- [9] Каргужанский А.Л. и др. // ЖНиПФиК. 1992. Т. 37. № 4. С. 331.
- [10] Резников В.А., Струц А.В. // Письма в ЖТФ. 1992. Т. 18. В. 6. С. 83.
- [11] Каргужанский А.Л. и др. // Письма в ЖТФ. 1990. Т. 16. В. 2. С. 87.
- [12] Акопян И.Х. и др. // Письма в ЖТФ. 1986. Т. 12. В. 6. С. 354.
- [13] Бармасов А.В., Резников В.А. // Письма в ЖТФ. 1990. Т. 16. В. 1. С. 41.
- [14] Каргужанский А.Л. и др. // Опт. и спектр. 1990. Т. 69. В. 6. С. 1323.
- [15] Церетели Т.И., Смирнова О.И. // Биофизика. 1990. Т. 35. В. 2. С. 217.

С.-Петербургский  
государственный  
университет

Поступило в Редакцию  
11 апреля 1992 г.